

ディジタル幾何学における図形と
そのComputational Complexityについて

広島大学 工学部 中村 昭 (Akira NAKAMURA)

広島大学 工学部 会沢 邦夫 (Kunio AIZAWA)

1. はじめに

Image processing或いはComputer graphicsの基礎理論として、最近ディジタル幾何学が定義され、興味ある話題を提供している（〔1〕，〔2〕）。これらは、主に平面画像の中に現れるパターンの分類に関係している。この分類は、パターンの幾何学的性質をもとにして行われる。しかし、これをディジタル計算機で処理するためには、パターンはディジタル化されていなくてはならない。このため、この分類は、与えられた格子点の有限集合が、ある幾何学的性質を持つ実際の図形から得られるか否かを判定する問題に変換される。一般に、このような判定は自明ではなく、直線に対する議論は文献〔3〕—〔5〕に見られる。ここでは、あるディジタル化の方法をもとに、円と長方形を認識するアルゴリズムと、そのComputational Complexityについて述べる。

2. 準備

任意の二点 p, q に対して pq は p と q を結ぶ線分を表し、 $|pq|$ は pq の長さを表すとする。Qを、平面の任意の有限部分とする。ディジタル計算機での処理のため、普通Qは格子

点の有限集合で表される。この集合は、 Q のディジタル像と呼ばれ、 Q からそのディジタル像への写像をディジタル化と呼ぶ。ここで用いられるディジタル化は、主に曲線に対して使われているもので、次のように定義される。

定義 1. (Kim's grid digitization)

格子点の有限集合 D は、次の二つの条件が成り立つならば、曲線 f のディジタル像であるといわれ、 $D = I K (f)$ と表される。

- (i) 格子点 $d = (h, k)$ が D の要素であれば、 f は次のような点 $z = (x, y)$ で格子を横切る： $\max \{ |h - x|, |k - y| \} < 1$ かつ d は f の右側にある。
- (ii) 格子点 $d = (h, k)$ が D の要素でないならば、上の条件を満足する横断点 $z = (x, y)$ は存在しない。

上の定義では、 f はある方向を持つと仮定され、この方向によって、 f の“右側”が定められている。今後、円と長方形の外周は、時計回りの方向を持つと仮定する。

定義 2.

(i) ディジタル線分

格子点の有限集合 D は、 $D = I K (f)$ なる線分 f が存在するときまたそのときに限り、ディジタル線分と呼ばれる。

(ii) ディジタル円

格子点の有限集合 D は、 $D = I K (c)$ なる円 c が存在するときまたそのときに限り、ディジタル円と呼ばれる。

(iii) ディジタル長方形

格子点の有限集合 D は、 $D = I K (r)$ なる長方形 r が存在するときまたそのときに限り、ディジタル長方形と呼ばれる。

ディジタル円とディジタル長方形を上のように定義した場合、一点またはたがいに接する数個の点からなる退化した円や長方形が生ずる可能性がある。しかしここでは、このような図形の認識はそれほど重要でないとして考えないこととする。

3. 円を認識するアルゴリズム

今、 $d = (p, q)$ を平面上の任意の点とし、 $x = p$, $y = q$, $y = x + q - p$, $y = -x + q + p - 1$ によって分割される 8 つの楔形の部分平面を Octants と呼ぶ。それらは、直線 $y = q$ の $x > 0$ なる部分のすぐ上にあるものから順に、反時計回りに、ローマ数字が付されているものとする。このとき、格子点の有限集合 D と点 d に対する次のような条件を考える。

- (1) R の各要素は、少なくとも二つの 8-隣接点をもつ。そして、
- (2) $m = (p_i, q_i)$, $n = (p_j, q_j)$ を次のような格子点とする：

$$|dm|^2 = \max \{ |da|^2 \mid a \in R \},$$

$$|dn|^2 = \min \{ |da|^2 \mid a \in R \}.$$

この n に対して、 n' を次のように定める。

$$n' = \begin{cases} (p_j+1, q_j) & n \in \text{Octant I} \text{ または VIII のとき}, \\ (p_j, q_j+1) & n \in \text{Octant II} \text{ または III のとき}, \\ (p_j-1, q_j) & n \in \text{Octant IV} \text{ または V のとき}, \\ (p_j, q_j-1) & n \in \text{Octant VI} \text{ または VII のとき}. \end{cases}$$

ならば、 $|dm|^2 < |dn'|^2$ が成り立つ。

今後、上の条件を CDC-K と呼ぶことにする。このとき、次の補題を示すことができる。

補題1. 与えられた格子点の有限集合Rと、与えられた一点dに対して、Rとdが条件CDC-Kを満たすときまたそのときに限り $R = I K (q)$ で中心がdであるような円qが存在する。

証明： まず、dを中心とし $R = I K (q)$ なる円qが存在するならば、Rは条件CDC-Kを満たすことを証明する。条件CDC-K (1) が成り立たないと仮定する。ならば、図1に示すような点がRに含まれることになり、明らかにRはディジタル円ではない。つぎに、条件CDC-K (2) が成り立たないとする。Octant Iでは、qが格子を横切るどの二点を結ぶ線分も-1より小さい傾きを持つ。従って、文献(3)に示されるように、Rのどの点もqから格子幅の $\frac{1}{2}$ 以上水平方向に離れることができない。同様に、Octant IIでは、格子幅の $\frac{1}{2}$ 以上垂直方向に離れることができない。このような性質が、各Octantに対して成り立つので、もしCDC-K (2) が成り立たないならばmとnをともに $I K (q)$ に含む円qは存在しない。逆に、条件CDC-K がRに対して成り立っているならば、 $|dm| < r < |dn'|$ を満足する任意のrについて、dを中心とし半径rの円qは $R = I K (q)$ なる性質を持つ。なぜなら、もし $I G (q)$ に含まれるがRには含まれないような格子点aが存在するならば、 $|da|$ は $|dm|$ より大きいかまたは $|dn|$ より小さい。これはmとnの定義に矛盾する。また、もしRには含まれるが $I G (q)$ には含まれない格子点aが存在するならば、前の議論から $R = I G (q)$ が成り立つ。しかし、このようなRに対して条件CDC-K は成り立たない。 ■

次に、条件CDC-K を用いて中心dを有限時間内に発見し、Rがディジタル円であるか否かを判定するアルゴリズムを示す。

$d1 = (p, q)$, $d2 = (p+1, q)$, $d3 = (p+1, q+1)$, $d4 = (p, q+1)$ なる格子点を4-centersと呼び、図2のようにOctantsを定める。

このとき、図3に示すアルゴリズムRDC-Kを考えるならば次の定理を証明することができます。

定理 1. 格子点の有限集合 R は、 R がアルゴリズム RDC-K によって受理されると
きまたそのときに限り、 ディジタル円である。

証明： まず、 アルゴリズム RDC-K が必ず停止することを示す。 R の内部には有限個の格子点しかないので、 (a) – (d) の繰り返しは (b) – (c) の繰り返しが停止するならば、 必ず停止する。そこで、 (b) – (c) の繰り返しが無限に続き得ると仮定する。ならば、 垂直二等分線は有限本しかないので、 step (c) で同じものが一度以上使われなくてはならない。しかし、 そのときは d と m は垂直二等分線を挟んで反対側にあるので、 新しい S は空になる。これは仮定と矛盾する。故に、 (b) – (c) の繰り返しは必ず停止する。次に、 RDC-K の正当性を示す。もし R が step (b) で受理されるならば、 R と d は条件 CD-C-K を満たす。補題 1 より R はディジタル円である。逆に、 R が step (d) で棄却されると仮定する（最初で棄却される場合は明らか）。ならば、 正方形 $d_0 d_1 d_2 d_3$ とすべての垂直二等分線によって定義されるどの多角形の重心も、 $q = I_K(R)$ なる円 q の中心にならない。ところで、 点 m, n, n', d の定義から、 どの多角形に含まれる d に対しても R と d が条件 CD-C-K を満たさないならば、 CDC-K を満たす点が R の内部に存在しないことがわかる。故に、
格子点の有限集合 R はディジタル円ではない。 ■

4. 長方形を認識するアルゴリズム

一本のディジタル線分 S に含まれる一つの格子点 a を定めたとき、 a を通り
 $S = I_K(f)$ なる線分 f のとり得る最大の傾きを $m(a)$ とし、 最小の傾きを $n(a)$ と
 する。また、 a を通り傾き $m(a), n(a)$ 持つ線分で S の原像になるものを、 それぞれ
 $Lm(a), Ln(a)$ と呼ぶことにする。

補題 2. R を任意のディジタル長方形とする。 R を構成する四つのディジタル線分上
 に格子点 a_i ($1 \leq i \leq 4$) を一点ずつ定める。ならば、 少なくとも一辺が $Lm(ai), Ln(ai)$

$(1 \leq i \leq 4)$ のどれか一つに一致し、かつ $R = I K (r)$ なる長方形 r が存在し、その逆も成り立つ。

証明： R はデジタル長方形なので $R = I K (r')$ なる長方形 r' が存在する。もし r' が $L_m (a_i), L_n (a_i), (1 \leq i \leq 4)$ のどれかを辺として持つならば、 $r = r'$ とおけばよい。そうでないなら、 r を回転移動すればよい。逆は明らか。■

このとき、格子点の有限集合 R に対して、次のような条件を考える。

(1) R のそれぞれの要素は、少なくとも二つの 8-隣接点をもつ。

(2) $R = P_1 \cup P_2 \cup P_3 \cup P_4$, ここで、 $P_i (1 \leq i \leq 4)$ はデジタル線分であるが、
 $P_i \cup \{d\}$ ($d \notin P_i$ かつ $d \in R$) はデジタル線分ではない。

(3) $P_h (1 \leq h \leq 4)$ は、ある一つの $P_i (i \neq h)$ 以外の二本の線分 P_j, P_k と出会っていって、 P_h の両端点はそれぞれ P_j と P_k の端点である。

(4) 以下の条件を満足する四つの格子点 a_1, a_2, a_3, a_4 , ($a_i \in P_i$) が存在する。

・ P_i と P_j が、出会っていないならば、

区間 $[n (a_i), m (a_i)]$ と $[n (a_j), m (a_j)]$ には共通部分が存在する。この共通部分の最大を $m_{ij} (ah)$ 、最小を $n_{ij} (ah)$ 、($h = i, j$) とする(図4参照)。

・ある同じ傾きを持つ線分(例えば) $L_{m13} (a1), L_{m13} (a3)$ に対して次の不等式が成り立つ(図5参照)。

線分 $a_1a_2, a_2a_3, a_3a_4, a_4a_1$ の中点をそれぞれ c_1, c_2, c_3, c_4 とする。

$$\text{ならば}, |c_4b_2|^2 \leq |c_4a_4|^2 \leq |c_4b_1|^2,$$

$$|c_1b_3|^2 \leq |c_1a_1|^2 \leq |c_1b_4|^2,$$

$$|c_2b_6|^2 \leq |c_2a_2|^2 \leq |c_2b_5|^2,$$

$$|c_3b_7|^2 \leq |c_3a_3|^2 \leq |c_3b_8|^2.$$

今後、上の条件をCDR-Kと呼ぶことにする。

定理2. 格子点の有限集合Rは、条件CDR-Kを満たすときまたそのときに限り、ディジタル長方形である。

証明: まず、 $R = I K(r)$ なる長方形rが存在するならば、Rは条件CDR-Kを満たすことを示す。そのような長方形が存在するならば、Rは明らかにCDR-K(1)～(3)を満たす。また、補題1よりCDR-K(4)を満たすことも容易に判る。逆に、条件CDR-KがRに対して成り立っていると仮定する。CDR-K(1)～(3)から、Rは四つのディジタル線分からなる中空の図形であることが容易に判る。また、CDR-K(4)より、図5に示されるようなLm13(a1)に垂直でそれぞれa2, a4を通る二本の線分と、Lm13(a3)に垂直でそれぞれa2, a4を通る二本の線分を引くことができる。Lm13(a1)とLm13(a3)は平行なので、これらの線分は長方形を構成する。■

5. 時間計算量について

ディジタル円Rが $N \times N$ の大きさの平面に含まれているならば、円周上の点はO(N)個ある。従って垂直二等分線はO(N^2)本あり、(b)～(c)の繰り返しはO(N^2)回の計算を必要とする。さらに、Rの内部にはO(N^2)個の格子点があるので、結局アルゴリズムRDC-KはO(N^4)の時間計算量を持つ。しかし、Rの中心を含む正方形Sの候補をあらかじめ定数個に定めることができるのである。例えば、中心は最も左(又は右)にあるRの格子点と同じ行にあるRの格子点との中点の近く($\pm \frac{1}{2}$)の列にあるはずである。また同時に、最も上(又は下)にあるRの格子点と同じ列にあるRの格子点との中点の近くの行に存在しなくてはならない。このような方法で、高々四個のSの候補を定めることができる。従って、RDC-Kを以上の方針で修正するならば、新しいアルゴリズムはO(N^2)の時間計算量を持つはずである。

次に、ディジタル長方形Rが $N \times N$ の大きさの平面に含まれているならば、Rの点は $O(N)$ 個ある。条件CDR-K (1)と(3)を判定するには明らかに $O(N)$ 回の計算で十分である。また、文献(5)で述べられているように、CDR-K (2)の判定も $O(N)$ 回ができる。ディジタル線分の傾きは $O(N)$ で求められ、CDR-K (4)の不等式の判定は定数オーダーである。しかし、CDR-K (4)の判定は、すべての a_1, a_2, a_3, a_4 に対して行われるので、結局CDR-Kは $O(N^5)$ の時間計算量を持っている。

References

- (1) A. Rosenfeld : Picture Languages, Academic Press, New York (1979), Chapter 2, Digital Geometry.
- (2) E. F. Krause : Taxicab Geometry, Addison-Wesley, Menlo Park (1975).
- (3) A. Rosenfeld : Digital straight line segments, IEEE Trans. Computer 23 (1974), pp. 1264-1269.
- (4) C. E. Kim : On cellular straight line segments, Computer Graphics and Image Processing 18, (1982), pp. 369-381.
- (5) A. Rosenfeld and C. E. Kim : How a digital computer can tell whether a line is straight, The American Mathematical Monthly, Vol.81, No.4 (1982), pp.230-235.
- (6) A. Nakamura and K. Aizawa : On digital circles, TR-1193, Computer Science Center, Univ. of Maryland (1982).
- (7) M. I. Shamos : Geometric complexity, Proc. 7th ACM Symposium on the Theory of Computing (1975), pp.224-233.

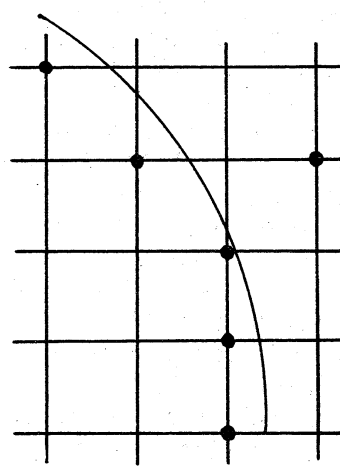
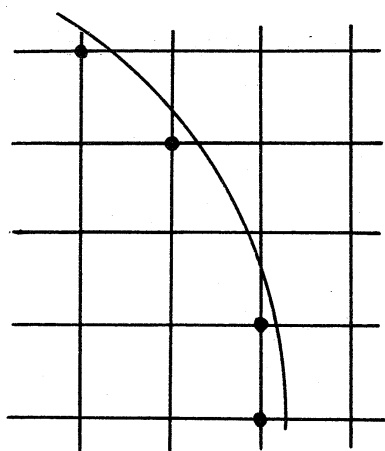


図 1

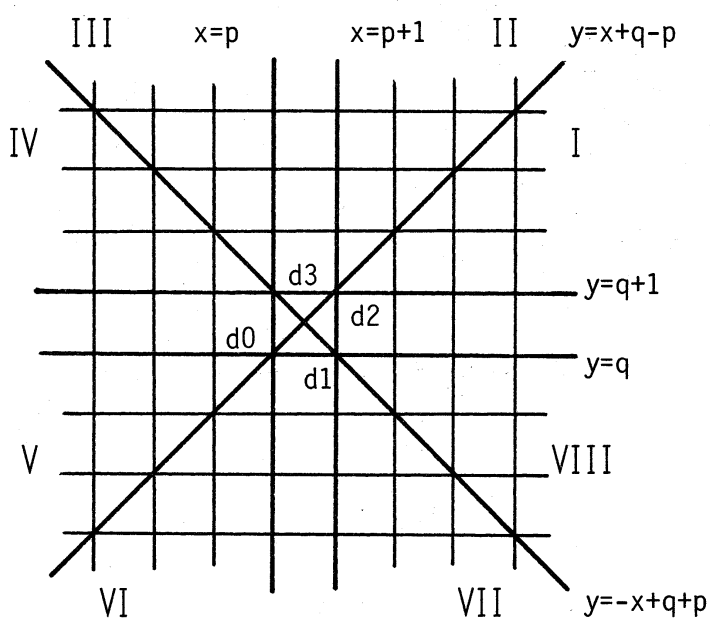


図 2

Algorithm RDC-G :

```

if CDC-K (1) holds for R then go to step (a) ;
else R is rejected ; stop ; end
(a) Take new 4-centers d0, d1, d2, d3 at any interior lattice points of R and
call it polygon S ;
(b) Let d be the barycenter of polygon S ;
if CDC-K (2) holds for R with d then
begin R is accepted ; stop ; end
else go to step (c) ;
(c) Let  $f(x) = ax+b$  be the perpendicular bisector of mn' ;
if m is in the half-plane F defined by  $f(x) > 0$  then
Set new S as  $S \cap F$  ;
if m is in the half-plane G defined by  $f(x) < 0$  then
Set new S as  $S \cap G$  ;
if f is null then go to step (d) ;
else go to step (b) ;
(d) if there exist new 4-centers then go to step (a) ;
else begin R is rejected ; stop ; end

```

図 3

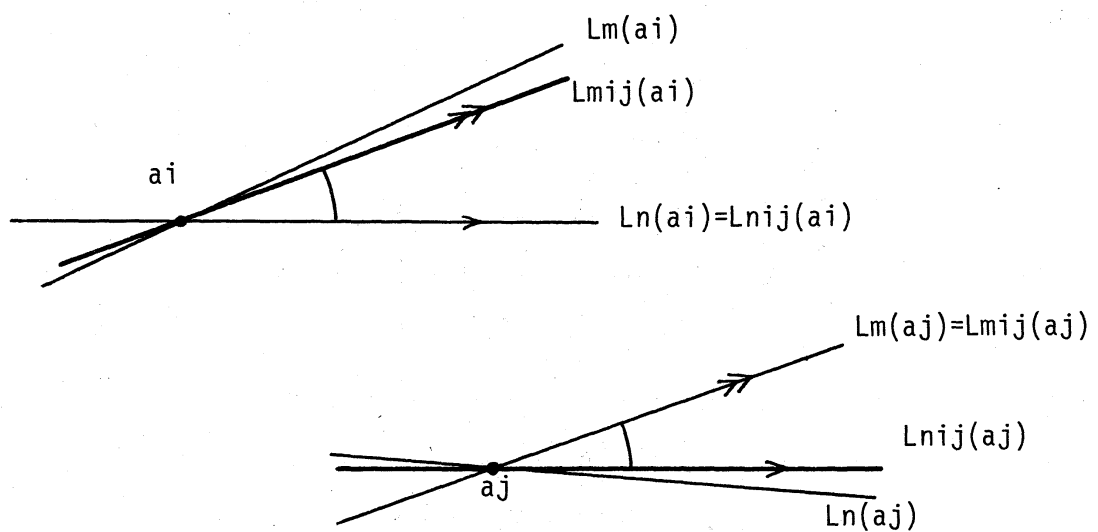


図 4

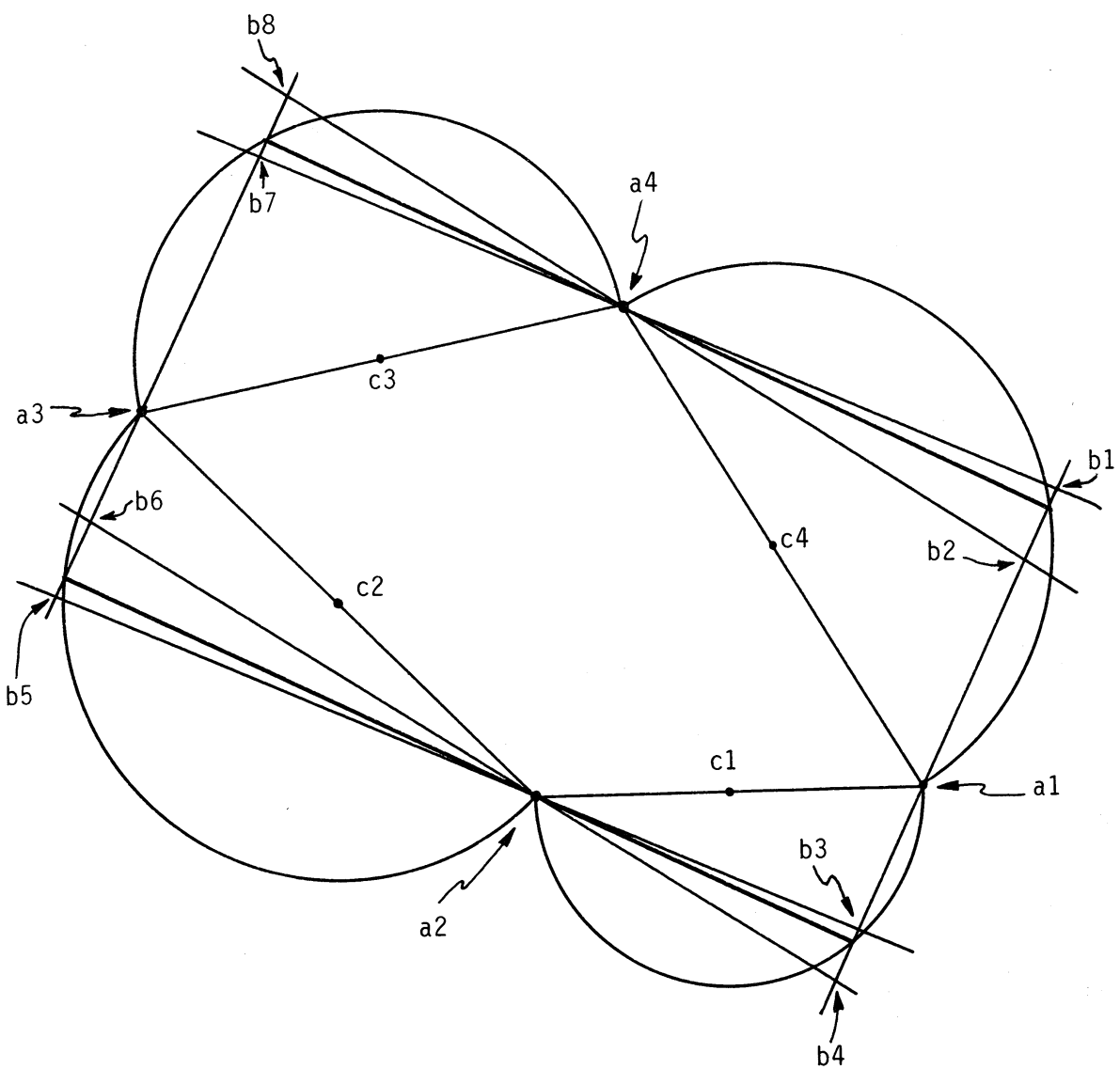


図 5